

ряжения, более широкая зона прерывистых токов. Эти недостатки частично устраняются введением в цепь нагрузки дополнительной индуктивности.

Преобразователь может быть рекомендован для применения в приводах малой мощности.

Л и т е р а т у р а

1. Анхимюк В.Л., Михеев Н.Н., Романов В.В. Вентильный многодвигательный электропривод. Авт. свид. №350121. — "Бюл. изобр.," 1972, №26.
2. Михеев Н.Н., Романов В.В., Фираго Б.И. Определение действующего значения переменной составляющей тока нагрузки управляемых выпрямителей. — "Изв. вузов. Энергетика", 1970, №6.
3. Анхимюк В.Л., Михеев Н.Н. Анализ электромагнитных процессов выпрямителя. — В сб.: Электроэнергетика. Вып. 2, Минск, 1971.
4. Орлова Р.Т. Граничные условия непрерывного тока в тиристорном электроприводе. — "Электричество", 1968, №7.
5. Алексеева Н.А., Андреев Г.И., Морговский Ю.Я. Тиристорные регулируемые электроприводы постоянного тока. М., 1970.

О.Ф. Опейко

К РАСЧЕТУ ПОЗИЦИОННОГО ЭЛЕКТРОПРИВОДА С ПЕРЕМЕННОЙ СТРУКТУРОЙ

Позиционный электропривод с безынерционным преобразователем при известных допущениях описывается уравнениями

$$\begin{aligned} T \dot{\alpha} &= e, \\ T_{\theta} \dot{\theta} &= iR, \end{aligned} \quad (1)$$

$$TR \frac{di}{dt} = -e - iR + bu.$$

На структурной схеме (рис. 1) и в уравнениях (1) приняты обозначения: α — угол поворота вала двигателя, e — э.д.с. двигателя, i — ток; R — сопротивление якорной цепи; u — управляющее воздействие на входе преобразователя; b — коэффициент усиления; T_{θ} — постоянная интегрирования, θ и T — электромеханическая и электромагнитная постоянные времени.

$$\dot{s} \leq 0, \quad (3)$$

где $\dot{s} = c_1(\dot{\alpha} - \dot{\alpha}_3) + c_2\dot{e} + R \frac{di}{dt}$.

Подставляя в последнее выражение производные фазовых координат из (1) и управление (2), получим

$$\begin{aligned} \dot{s} = & (\alpha - \alpha_3) \left(-\frac{c_1 c_2}{\theta} + \frac{c_1}{T} + \frac{b \psi_1}{T} \right) + \\ & + e \left(\frac{c_1}{T_{\mu}} - \frac{c_2^2}{\theta} - \frac{1}{T} + \frac{c_2}{T} + \frac{b \psi_2}{T} \right), \end{aligned} \quad (4)$$

откуда следуют необходимые и достаточные условия скольжения на всей плоскости $s = 0$

$$b \gamma_1 \leq c_1 (1 - c_2 T / \theta) \leq b \beta_1, \quad (5)$$

$$b \gamma_2 \leq c_1 \frac{T}{T_{\mu}} - c_2^2 \frac{T}{\theta} - 1 + c_2 \leq b \beta_2. \quad (6)$$

Характеристическое уравнение системы (1) с управлением (2) при $\psi_{1,2} = \beta_{1,2} > 0$ не имеет неотрицательных действительных корней, что необходимо и достаточно для попадания на плоскость $s = 0$ при любых начальных условиях.

Управляющее устройство наиболее просто, если $\psi_2 = \beta_2 = \gamma_2 = 0$, т.е. коммутируется лишь обратная связь по сигналу ошибки (рис. 1), и $\beta_1 = -\gamma_1$. Тогда условие (6) невыполнимо, поскольку c_1 и c_2 рассчитаны исходя из требований к динамике [1]. Но это еще не означает необходимости второй коммутируемой обратной связи. Так, если движение в плоскости $s = 0$ монотонно, (5) и (6) не являются необходимыми и заменяются более слабым условием.

Система уравнений скользящего движения в плоскости $s = 0$

$$\left. \begin{aligned} T_{\mu} \dot{\alpha} &= e; \\ \theta \dot{e} &= -c_1 (\alpha - \alpha_3) - c_2 e, \end{aligned} \right\} \quad (7)$$

имеет характеристические числа

$$p_{1,2} = -\frac{c_2}{2\theta} \pm \sqrt{\frac{c_2^2}{4\theta^2} - \frac{c_1}{\theta T_{\text{и}}}}. \quad (8)$$

Ее решение

$$\left. \begin{aligned} \alpha - \alpha_3 &= d_1 \exp p_1 t + d_2 \exp p_2 t, \\ e &= T_{\text{и}} (p_1 d_1 \exp p_1 t + p_2 d_2 \exp p_2 t), \end{aligned} \right\} (9)$$

где d_1 и d_2 зависят от начальной точки скользящего движения.

Подстановка в (4) выражений (9) при $\psi_2 = 0$ и $p_{1,2} < 0$ дает необходимые и достаточные условия скользящего режима на всей плоскости $s = 0$:

$$b \beta_1 \geq \left| c_1 \left(1 - c_2 \frac{T}{\theta}\right) + T_{\text{и}} p_{1,2} \left(\frac{T}{T_{\text{и}}} c_1 - \frac{T}{\theta} c_2^2 - 1 + c_2\right) \right|. \quad (10)$$

Неравенства (10) позволяют определить β_1 , при котором фазовая точка не выйдет из плоскости $s = 0$.

В случае комплексных корней (8) выполнение (5), (6) так же не обязательно. Обозначим $\delta = \frac{c_2}{2\theta}$, $\omega = \sqrt{\frac{c_2^2}{4\theta^2} - \frac{c_1}{\theta T_{\text{и}}}}$.

Тогда общее решение системы (7) имеет вид

$$\left. \begin{aligned} \alpha - \alpha_3 &= d (\exp(-\delta t)) \sin(\omega t - \varphi), \\ e &= -T_{\text{и}} d (\exp(-\delta t)) (\delta \sin(\omega t - \varphi) - \omega \cos(\omega t - \varphi)). \end{aligned} \right\} (11)$$

Здесь d и φ зависят от начальной точки скользящего режима.

Подставляя (11) в (4) и полагая $\psi_2 = 0$, получим условие, аналогичное (10):

$$b \beta_1 \geq \left| (b_1 - b_2 T_{\text{и}} \delta) + b_2 T_{\text{и}} \omega \operatorname{ctg}(\omega t - \varphi) \right|, \quad (120)$$

где $b_1 = c_1 \left(1 - c_2 \frac{T}{\theta}\right)$, $b_2 = c_1 \frac{T}{T_{\text{и}}} - c_2 \frac{T}{\theta} - 1 + c_2$.

Очевидно, (12) нарушается в окрестностях точек $t = (\varphi + k\pi) / \omega$. Покажем, что эти окрестности можно сделать достаточно малыми. Моменты $t_{1,2}$, когда (12) выполняется как равенство, удовлетворяют уравнению

$$\omega t_{1,2} - \varphi = \pm \operatorname{arccctg} \frac{b \beta_1 + (b_1 - b_2 T_H \delta)}{b_2 \omega T_H} + k\pi. \quad (13)$$

Скольльзящий режим отсутствует в течение интервалов

$$\Delta t = t_1 - t_2 = \frac{1}{\omega} \left(\operatorname{arccctg} \frac{b \beta_1 + b_1 - b_2 T_H \delta}{b_2 T_H \omega} + \operatorname{arccctg} \frac{b \beta_1 - b_1 + b_2 T_H \delta}{b_2 T_H \omega} \right). \quad (14)$$

Равенство (14) показывает, что $\Delta t \rightarrow 0$ при $\beta_1 \rightarrow \infty$. Кривая переходного процесса существенно не изменится, если β_1 выбрано так, что Δt много меньше времени регулирования.

При больших β_1 практически весь переходный процесс происходит в скольльзящем режиме, и показатели качества регу-

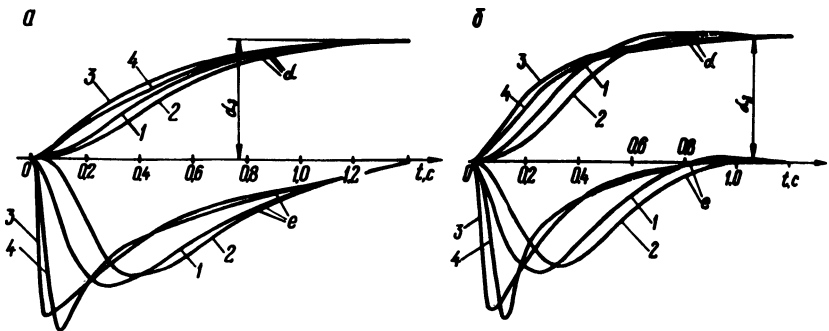


Рис. 2. Переходные процессы в системе, когда коэффициенты c_1 и c_2 удовлетворяют условию кратности корней (а) и когда c_1 и c_2 обеспечивают технический оптимум при нормальных значениях параметров (б).

лирования полностью определяются корнями (8). Задавая желаемые p_1, p_2 можно определить c_1 и c_2 из (8).

На рис. 2 показаны переходные процессы, полученные моделированием на АВМ. Расчетные параметры объекта: $T_{и} = 2с, \theta = 0,4с, T = 0,05с, b = 1$. Если корни кратные, $p_1 = p_2 = -4,25с^{-1}$, что получается при $c_1 = T_{и} c_2^2 / 4\theta, c_1 = 14,5, c_2 = 3,4$, переходный процесс имеет вид кривой 1 (рис. 2,а). Принято $\beta_1 = 50$. Кривые 2,3,4 получаются при изменившихся параметрах: кривая 2 — при $T = 0,2с$, кривая 3 — при $\theta = 0,04с$, кривая 4 — при $\theta = 0,04, T = 0,2с$. Пусть корни комплексные и удовлетворяют техническому оптимуму $p_{1,2} = \delta \pm j\delta$, где $\delta = -4,25с^{-1}$. Тогда из (8) получаем $c_1 = 28,9, c_2 = 3,4$. Пусть $\beta_1 = 50$. Переходный процесс показан на рис. 2,б (кривая 1). Процессы 2,3,4 (рис. 2,б) получаются при тех же изменениях параметров, что и в предыдущем случае. Результаты моделирования показывают возможность изложенного подхода к синтезу.

Л и т е р а т у р а

1. Теория систем с переменной структурой. Под ред. С.В. Емельянова. М., 1970.

В.Л. Анхимюк, Н.Н. Михеев, В.Н. Сацукевич

ТИРИСТОРНЫЙ ЭЛЕКТРОПРИВОД ОПТИКООБРАБАТЫВАЮЩИХ СТАНКОВ С РЕВЕРСОРОМ В ЦЕПИ ВОЗБУЖДЕНИЯ ДВИГАТЕЛЯ

Рассматриваемый тиристорный электропривод, разработанный для серийной гаммы многошпиндельных оптикообрабатывающих станков, позволяет осуществлять независимое регулирование скорости электродвигателей шпинделей, механизмов качания и реверс шпинделей. В схеме используется выпрямитель с несколькими независимо регулируемыми выходными напряжениями [1], а реверс электродвигателей шпинделей осуществляется изменением направления потока возбуждения.